

Rappel : Calcul d'une force :

→ Dérivée de l'énergie :

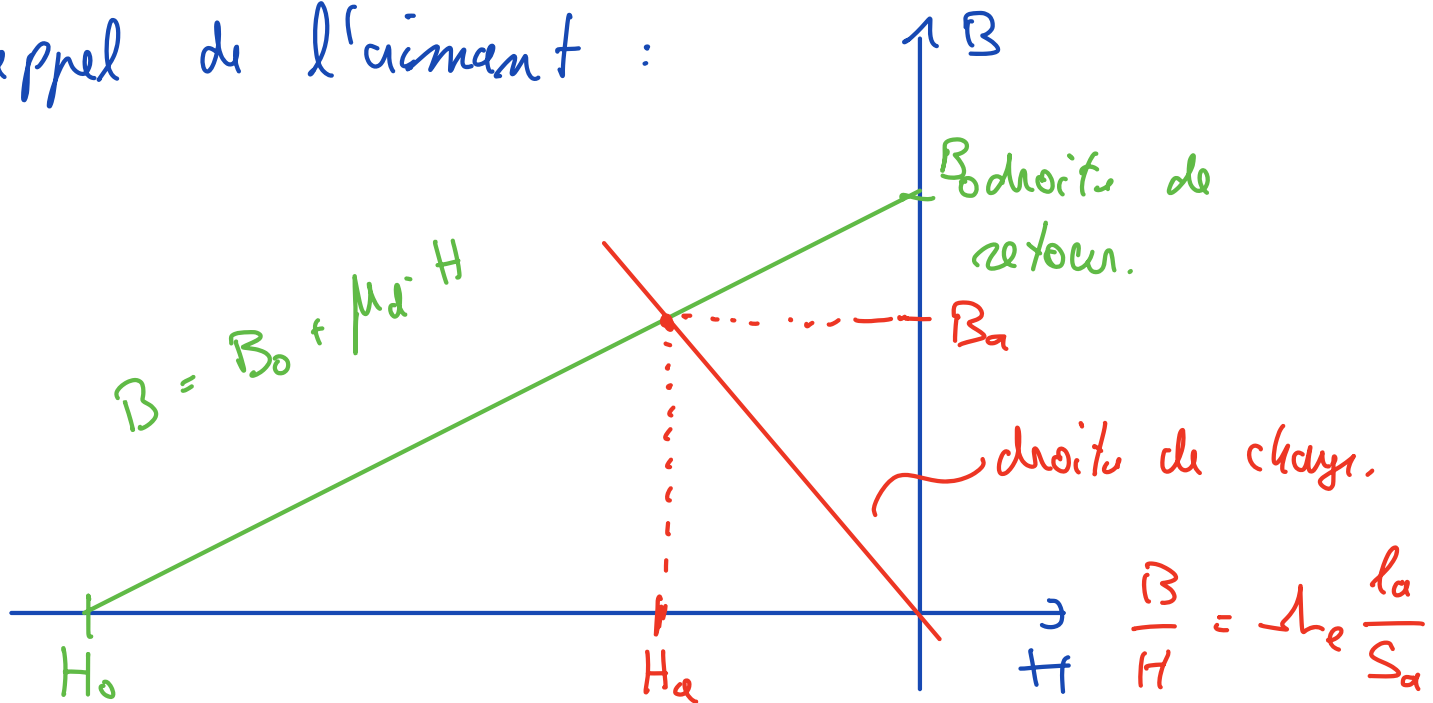
$$F_x = \frac{1}{2} \frac{dL}{dx} \quad i^2 = \frac{1}{\epsilon} \frac{dL}{dx} \partial_s^2$$

$$\lambda = \frac{\mu \cdot s}{l}$$

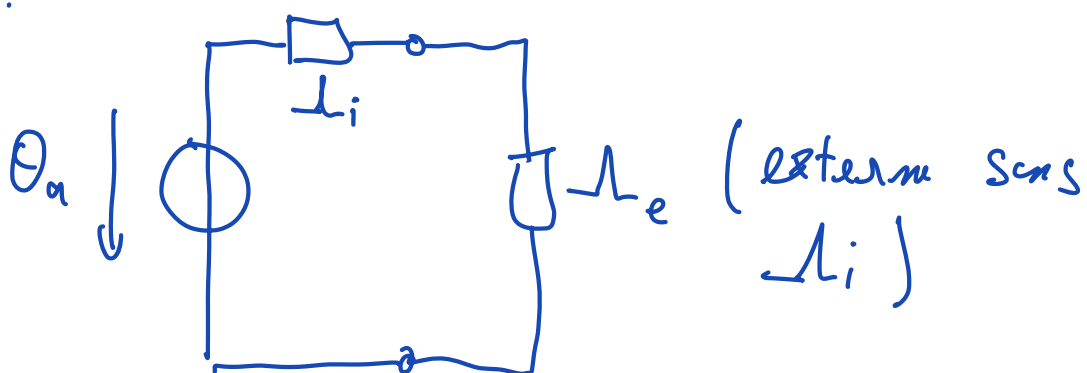
— Tenseur de Poincaré :

— La plaque

Rappel de l'aimant :



Modèle :



$$F_x = \frac{1}{2} \frac{d \Lambda_{tot}}{dx} \theta_a^2$$

Si on a aimant et bobin ensemble :

$$F_x = \frac{1}{2} \frac{d \mathcal{L}_b}{dx} \dot{\theta}_b^2 + \frac{1}{2} \frac{d \mathcal{L}_a}{dx} \dot{\theta}_a^2 + \frac{d \mathcal{L}_{ab}}{dx} \dot{\theta}_a \dot{\theta}_b$$

equivalent
à Laplace

$$F = \frac{d \mathcal{L}_{ab}}{dx} \dot{\theta}_a \cdot \dot{\theta}_b$$

$$u = R \cdot i + \frac{d \Psi}{dt}$$

$$= R \cdot i + L \frac{di}{dt} + \frac{d \Psi_{ab}}{dt}$$

Tension induite
du transformateur
 Tension
induite du mouvement

$$\frac{d \Psi_{ab}}{dt} = \frac{d (N \cdot \Phi_{ab})}{dt} = \frac{d (N \cdot \dot{\theta}_a \cdot \mathcal{L}_{ab})}{dt}$$

$$= N \cdot \dot{\theta}_a \cdot \frac{d \mathcal{L}_{ab}}{dx} \cdot \frac{dx}{dt} = K \cdot \dot{v} = u_{imf}$$

K

$$K = N \cdot \dot{\theta}_a \cdot \frac{d \mathcal{L}_{ab}}{dx} = \frac{F_x}{i}$$

$$\Rightarrow F_x = k \cdot i$$

Classification :

basé sur l'observation de l'aimant :

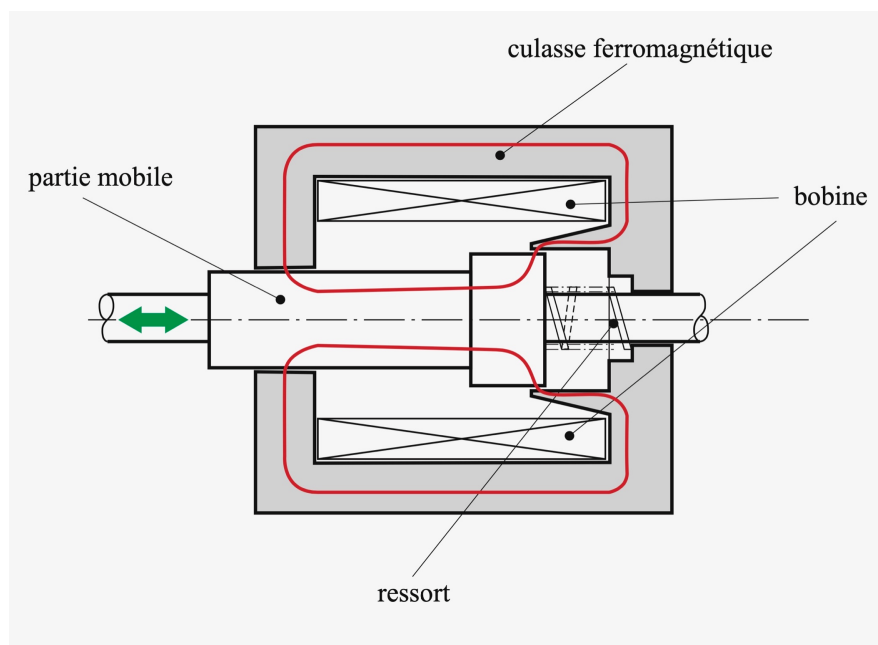
1. Sans aimant

2. Avec aimant

Fixe

Mobile

a) Système sans aimant : Réducteur



$$F = \frac{1}{2} \frac{dL}{dx} \cdot i^2 = \frac{1}{2} \frac{dL}{dx} \Phi_s^2$$

Aurage : - ben manki

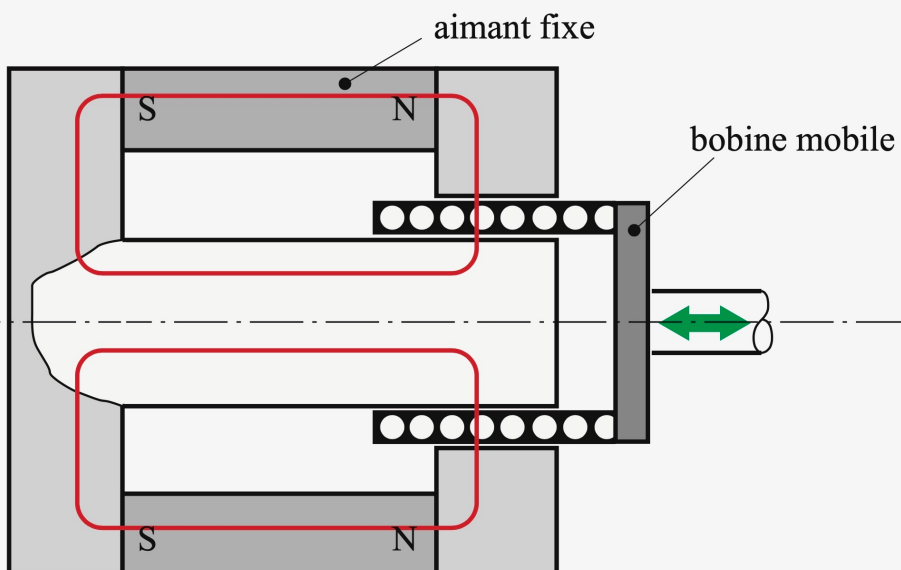
Inconvient - rendement mauvais

- Bruit

- $F \sim i^2$

b) Système Electrodynamique (Voice-coil)

on a 1 bob et 1 aimant fixe
L_{mobile}.



$$F_x = \frac{d \mathcal{H}_{ab}}{dx} \Phi_a \cdot \Phi_b = N \cdot i \cdot l \cdot B_g$$

$\underbrace{\quad\quad\quad}_{\text{Laplace}}$

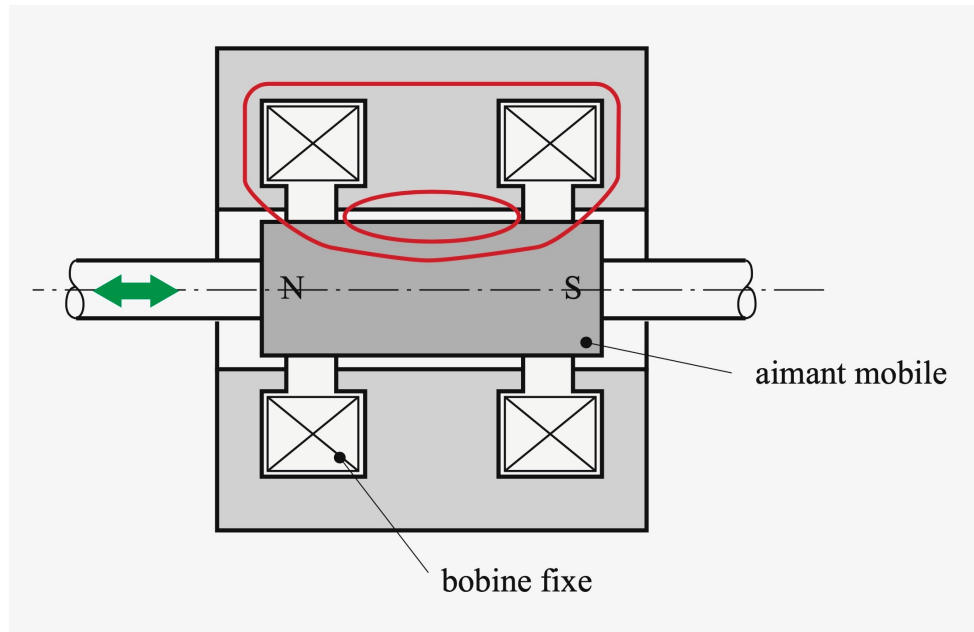
Laplace \rightarrow à utiliser !!

Avantage : - 2 directions
- $F \sim i$

Inconvénient : - bobine à guider
et à alimenter

c) Système Electromagnétique :

bobine fixe et aimant mobile



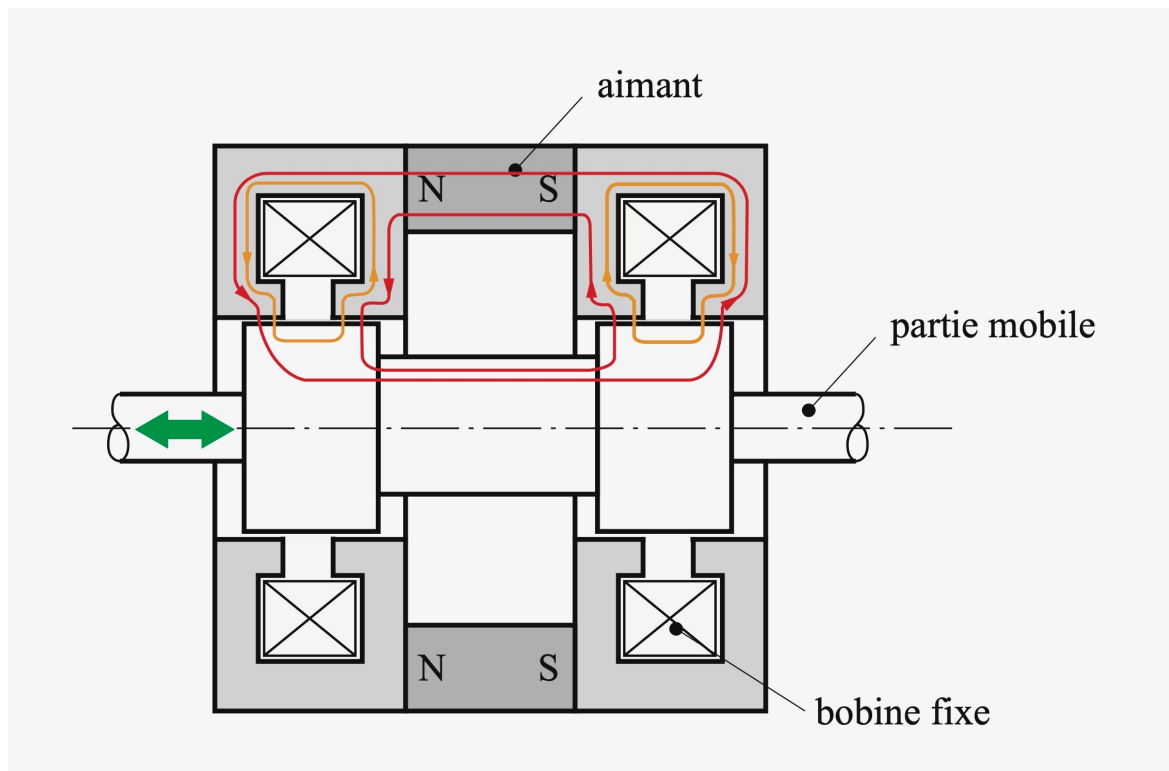
$$\vec{F}_k = \underbrace{\frac{d\lambda_{as}}{dx} \Omega_a \cdot \Omega_b}_{\text{Laplace}} + \underbrace{\frac{1}{2} \frac{d\lambda_a}{dx} \Omega_a^2}_{\text{parasite}}$$

Avantages : - grande densité de force
- rendement élevé

Inconvient : - aimant à froid

d) Système Réducteur polarisé ou hybride

- aimant et bobine fixe
- partie métallique mobile :



$$F = \frac{1}{2} \frac{dM_b}{dx} \Phi_b^2 + \frac{1}{2} \frac{dM_a}{dx} \Phi_a^2 + \frac{dM_b}{dx} \Phi_c \Phi_b$$

Avantage : - bon rendement

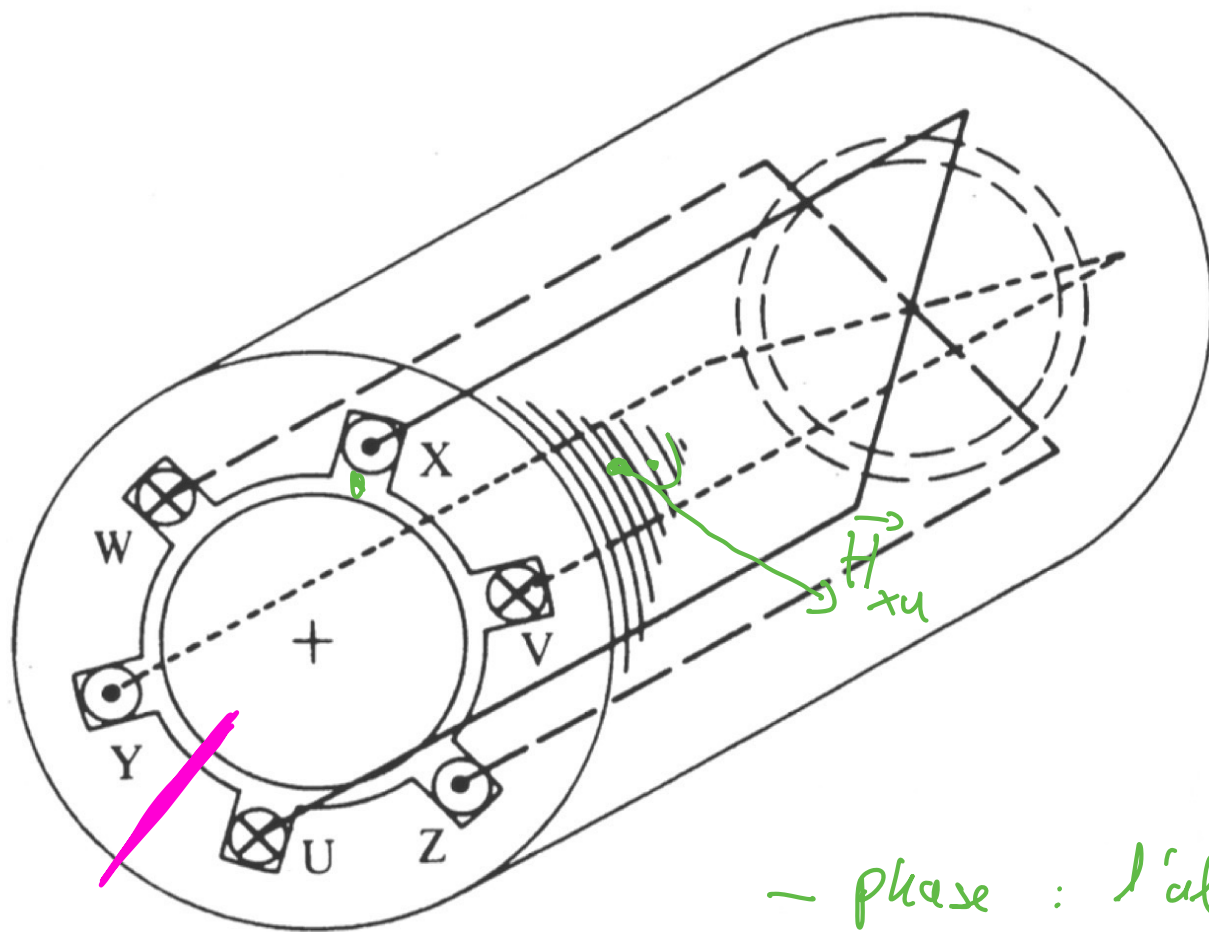
- fonctionne pas à pas

Incendiant : - bruit

-

7. Champ tournant

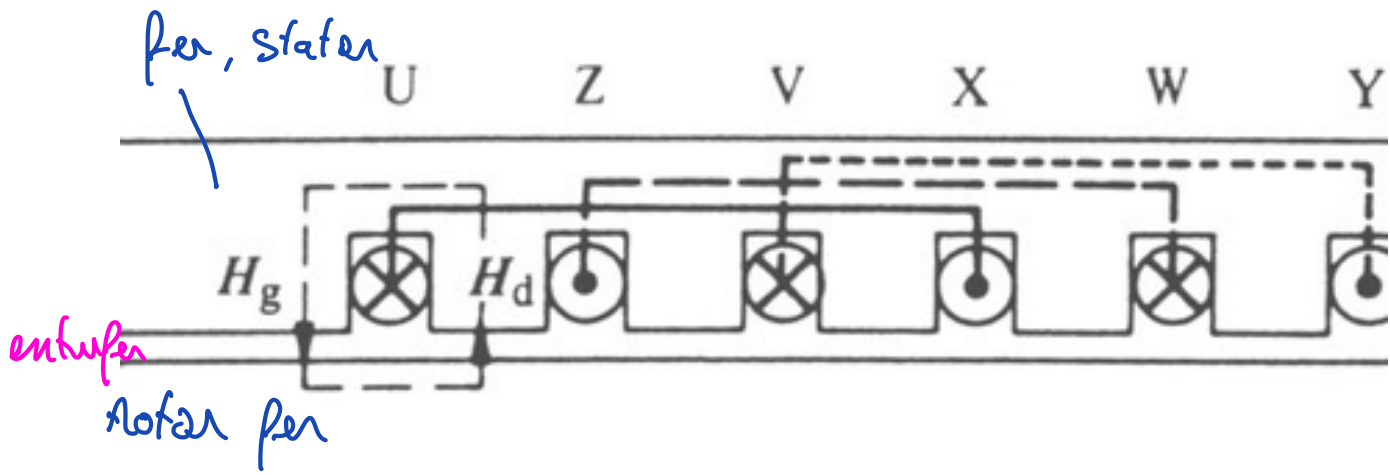
Conversion : $E_{el} \rightarrow E_{mec}$
 $E_{mec} \rightarrow E_{el}$



- phase : l'alimentation

- pôle : champ magnétique

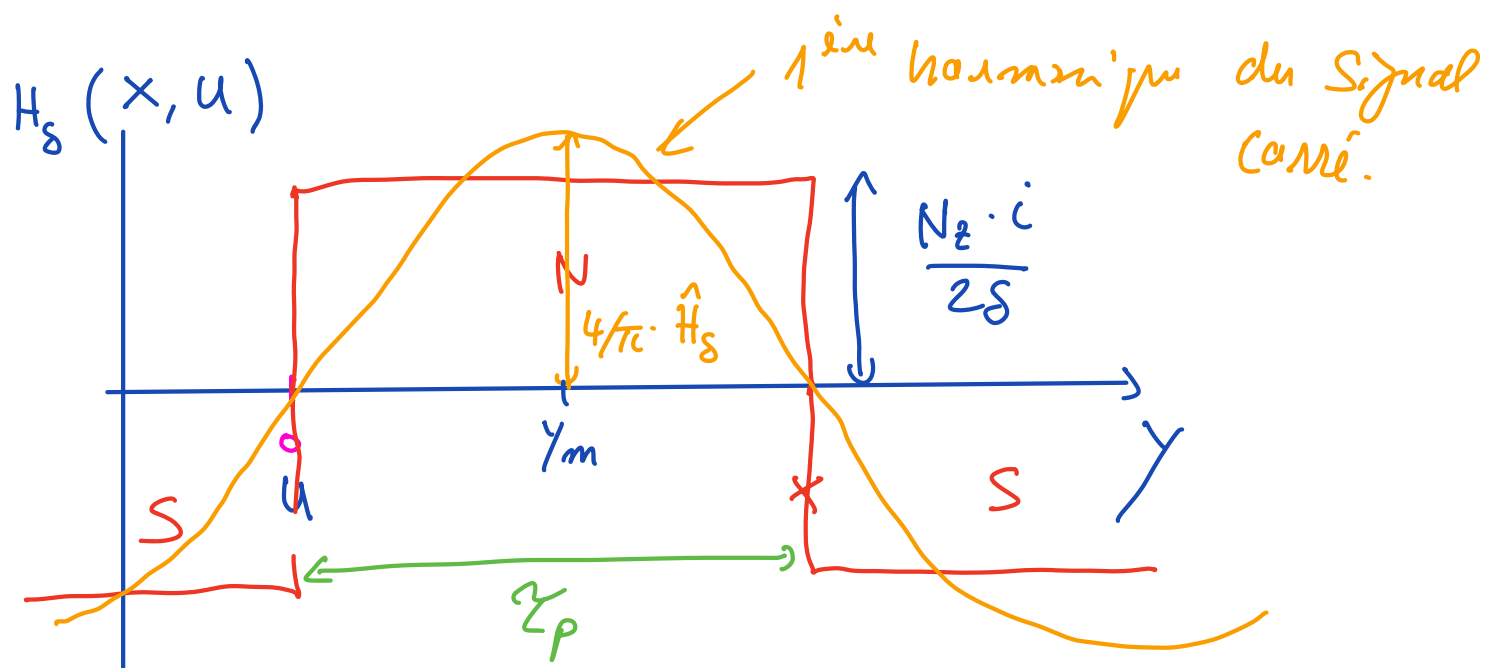
- 6 encoches
- 3 phases



- hypothesen:
- passt die Punkte, Preise
 - $\mu_{\text{fer}} = \infty$
 - $\perp \rightarrow$ la surface

$$\oint H \, dl = \Theta_b \Rightarrow H_g \cdot s + H_d \cdot s = N_z \cdot i$$

$$H_g = H_d \rightarrow H_s = \frac{N_z \cdot i}{2s}$$



y : abscisse curviligne dans l'enfouissement.

Σ_p : largeur d'un pôle, pas polaire

Eq. Fondamental : ${}^1H_{ux} = \frac{4}{\pi} \hat{H}_S \cdot \sin \frac{\pi y}{\Sigma_p}$

Phase ux : ${}^1H_{ux} = \frac{4}{\pi} \frac{N_2 \cdot i}{2s} \cdot \sin \frac{\pi y}{\Sigma_p}$

$$i = \hat{I} \sin(\omega t)$$

$${}^1H_{ux} = \frac{4}{\pi} \frac{N_2 \hat{I}}{2s} \cdot \sin \frac{\pi y}{\Sigma_p} \cdot \sin(\omega t)$$

$\underbrace{\hat{I}}_{\text{spatial}}$ $\underbrace{\sin}_{\text{temporal}}$

On prend les 2 autres phases, alternativement

2 autres sinus déphasés de 120° .

$${}^1H_{ux} = {}^1\hat{H} \sin \frac{\pi y}{\Sigma_p} \cdot \sin \omega t$$

$${}^1H_{uy} = {}^1\hat{H} \sin \left(\frac{\pi y}{\Sigma_p} - \frac{2\pi}{3} \right) \cdot \sin \left(\omega t - \frac{2\pi}{3} \right)$$

$$^1H_{wt} = ^1\hat{H} \sin\left(\frac{\pi y}{\lambda_p} - \frac{4\pi}{3}\right) \cdot \sin\left(wt - \frac{k\pi}{3}\right)$$

$$\sin x \cdot \sin y = \frac{1}{2} (\cos(x-y) - \cos(x+y))$$

$$^1H_{ux} = \frac{1}{2} ^1\hat{H} \left[\cos\left(\frac{\pi y}{\lambda_p} - wt\right) - \cos\left(\frac{\pi y}{\lambda_p} + wt\right) \right]$$

$$^1H_{vy} = \frac{1}{2} ^1\hat{H} \left[\cos\left(\frac{\pi y}{\lambda_p} - wt\right) - \cos\left(\frac{\pi y}{\lambda_p} + wt - \frac{4\pi}{3}\right) \right]$$

$$^1H_{wt} = \frac{1}{2} ^1\hat{H} \left[\cos\left(\frac{\pi y}{\lambda_p} - wt\right) - \cos\left(\frac{\pi y}{\lambda_p} + wt - \frac{2\pi}{3}\right) \right]$$

$$^1H_{tot} = \frac{3}{2} ^1\hat{H} \cos\left(\frac{\pi y}{\lambda_p} - wt\right) - 0$$

— —
 espace temps

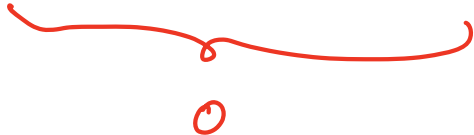
- Onde magnétique progressive
- Champ tangent


 onde magnétique
 rétrograde

Vitesse du champ tournant :

y : abscise auv. ligne.

y_m : Maximum du champ tournant.

$$\cos \left(\frac{\pi y_m}{\zeta_p} - \omega t \right)$$


$$y_m = \frac{\omega \cdot \zeta_p}{\pi} \cdot t \quad \omega = 2\pi f$$

$$V_m = \frac{dy_m}{dt} = \frac{\omega \cdot \zeta_p}{\pi} = 2 \cdot f \cdot \zeta_p$$

$$2 \cdot \pi \cdot n = 2 \cdot \zeta_p$$

$$\uparrow$$

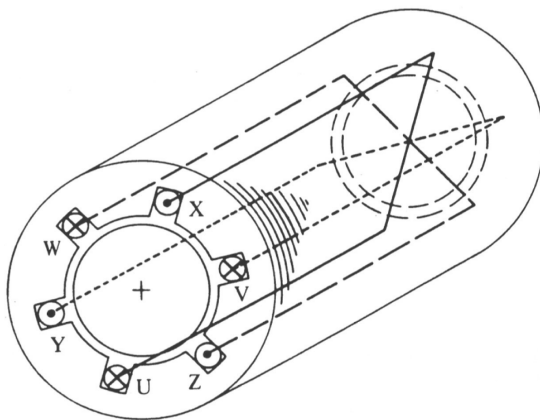
zeigen
mogen du
l'enfer fer.

$$\rightarrow n = \frac{\zeta_p}{\pi}$$

$$\Omega = \text{Vitesse du rotatif} = \frac{V_m}{2}$$

$$\Omega = 2 \cdot \pi \cdot f = \omega$$

- Généralisation :



$$M 2 \cup \times W Y M 2 \cup \times W Y$$

1 période

1 période

2 pôles

2 pôles

4 pôles

$$4 \text{ pôles} \Rightarrow P = 2$$

$2P = \text{nb de paires de pôles}$

$$P = \text{ " " " " }$$

$$(2\pi n = 2\tau_p)$$

$$\zeta_p = \frac{2\pi n}{2p} = \frac{\pi \cdot n}{p}$$

Vitesse du champ tournant: $\Omega = \frac{w}{p}$

$$p = 1 \quad f = 50 \text{ Hz} \quad w = 314 \quad \Omega = 3000 \text{ rad/min}$$

$$p = 2 \quad " \quad " \quad \Omega = 1500 \text{ rad/min}$$

$$p = 6 \quad " \quad " \quad \Omega = 500 \text{ rad/min}$$

Sens du champ tournant:

$$\text{"normal"} \quad \cos \left(wt - \frac{\pi y}{\zeta_p} \right)$$

$$v = \frac{w \cdot \zeta_p}{\pi}$$

$$\text{"permuté"} \quad \cos \left(wt + \frac{\pi y}{\zeta_p} \right)$$

$$v = - \frac{w \cdot \zeta_p}{\pi}$$